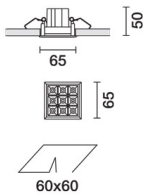
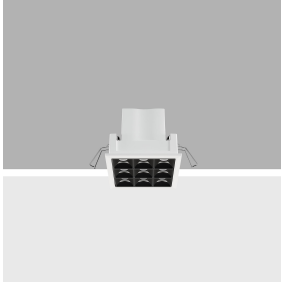


Letzte Aktualisierung der Informationen: August 2025

Produktkonfiguration: RA76

RA76: Frame 9 Zellen - Wideflood Beam - LED



Produktcode

RA76: Frame 9 Zellen - Wideflood Beam - LED

Beschreibung

Miniaturisierte, viereckige Einbauleuchte mit 9 optischen Elementen mit LED-Lampen - feste Optiken. Trotz der sehr kompakten Größe der Leuchte sorgt die patentierte Technologie des optischen Systems für einen effizienten Lichtfluss und einen hohen Sehkomfort. Hauptkorpus mit strahlender Oberfläche aus Aluminiumdruckguss, Version mit Anschlag-Konturenrahmen. Opti Beam-Reflektoren aus metallisiertem Thermoplast, in zurückgesetzter Position in den schwarzen Blendschutz integriert. Komplett mit DALI-Versorgungseinheit, die an die Leuchte angeschlossen ist.

Installation

Zum Einbau in abgehängte Decken von 1 bis 25 mm mittels Federn aus Stahldraht - Einbauöffnung 60 x 60.

Farben

Weiß (01) | Schwarz/Schwarz (43) | Weiß/Schwarz (47) | Weiß/Gold (41)* | Grau/Schwarz (74)* | White / chrome burnished (E7)*

Gewicht (Kg)

0.3

* Farben auf Anfrage

Montage

Wandeinbauleuchte|Deckeneinbauleuchte

Verkabelung

An der Versorgungseinheit mit eingebauter Klemmleiste.

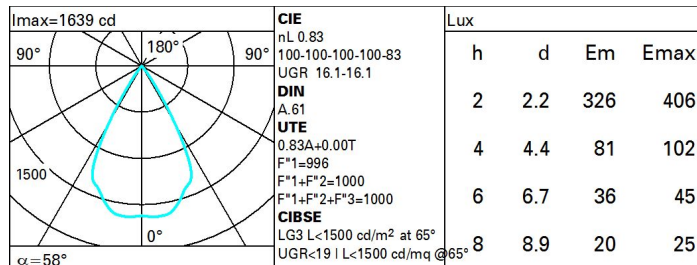
Gemäß der Normen EN60598-1 u. Sondernormen



Technische Daten

| | | | |
|---|------|---------------------------------|---------------------------------|
| Im System: | 1287 | Farbtemperatur [K]: | 3500 |
| W System: | 17.7 | MacAdam Step: | 2 |
| Im Lichtquelle: | 1550 | Lebensdauer LED 1: | > 50,000h - L80 - B10 (Ta 25°C) |
| W Lichtquelle: | 15 | Eingangsspannung [V]: | 230 |
| Lichtausbeute (lm/W, Systemwert): | 72.7 | Lampencode: | LED |
| Im im Notlichtbetrieb: | - | Anzahl Lampen in Leuchtgehäuse: | 1 |
| abgegebener Lichtstrom bei/ über einem Winkel von 90° [lm]: | 0 | ZVEI-Code: | LED |
| Leuchtenbetriebswirkungsgrad 33 (L.O.R.) [%]: | | Anzahl Leuchtgehäuse: | 1 |
| Abstrahlwinkel [°]: | 58° | Control: | DALI-2 |
| CRI (minimum): | 90 | | |

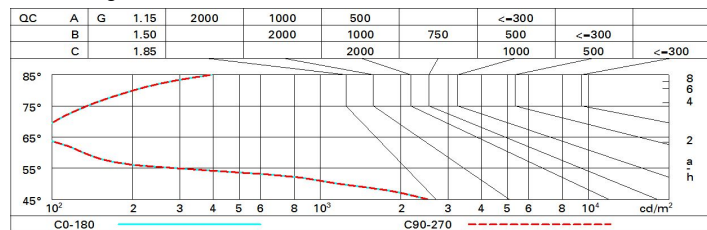
Polardiagramm



Wirkungsgrad

| R | 77 | 75 | 73 | 71 | 55 | 53 | 33 | 00 | DRR |
|------|----|----|----|----|----|----|----|----|-----|
| K0.8 | 75 | 71 | 68 | 66 | 70 | 68 | 68 | 65 | 78 |
| 1.0 | 78 | 75 | 72 | 70 | 74 | 72 | 71 | 69 | 83 |
| 1.5 | 82 | 79 | 77 | 76 | 78 | 77 | 76 | 73 | 89 |
| 2.0 | 85 | 83 | 81 | 80 | 82 | 80 | 79 | 77 | 93 |
| 2.5 | 86 | 85 | 84 | 83 | 84 | 83 | 82 | 79 | 96 |
| 3.0 | 87 | 86 | 85 | 85 | 85 | 84 | 83 | 81 | 98 |
| 4.0 | 88 | 87 | 87 | 86 | 86 | 86 | 84 | 82 | 99 |
| 5.0 | 89 | 88 | 88 | 88 | 87 | 86 | 85 | 83 | 100 |

Söllner-Diagramm



UGR-Diagramm

| Corrected UGR values (at 1550 lm bare lamp luminous flux) | | | | | | | | | | | |
|---|------|------------------|------|------|------|------|----------------|------|------|------|------|
| Reflect.: | | viewed crosswise | | | | | viewed endwise | | | | |
| ceiling/cav | | 0.70 | 0.70 | 0.50 | 0.50 | 0.30 | 0.70 | 0.70 | 0.50 | 0.50 | 0.30 |
| walls | | 0.50 | 0.30 | 0.50 | 0.30 | 0.30 | 0.50 | 0.30 | 0.50 | 0.30 | 0.30 |
| work pl. | | 0.20 | 0.20 | 0.20 | 0.20 | 0.20 | 0.20 | 0.20 | 0.20 | 0.20 | 0.20 |
| Room dim | | viewed crosswise | | | | | viewed endwise | | | | |
| x | y | | | | | | | | | | |
| 2H | 2H | 10.0 | 17.2 | 16.9 | 17.5 | 17.7 | 16.6 | 17.2 | 16.9 | 17.5 | 17.7 |
| | 3H | 10.5 | 17.0 | 16.8 | 17.3 | 17.6 | 16.5 | 17.0 | 16.8 | 17.3 | 17.6 |
| | 4H | 10.4 | 16.9 | 16.8 | 17.2 | 17.5 | 16.4 | 16.9 | 16.8 | 17.2 | 17.5 |
| | 6H | 10.4 | 16.8 | 16.7 | 17.1 | 17.5 | 16.4 | 16.8 | 16.7 | 17.1 | 17.5 |
| | 8H | 10.3 | 16.8 | 16.7 | 17.1 | 17.4 | 16.3 | 16.8 | 16.7 | 17.1 | 17.4 |
| | 12H | 10.3 | 16.7 | 16.7 | 17.0 | 17.4 | 16.3 | 16.7 | 16.7 | 17.0 | 17.4 |
| 4H | 2H | 16.4 | 16.9 | 16.8 | 17.2 | 17.5 | 16.4 | 16.9 | 16.8 | 17.2 | 17.5 |
| | 3H | 16.3 | 16.7 | 16.7 | 17.0 | 17.4 | 16.3 | 16.7 | 16.7 | 17.0 | 17.4 |
| | 4H | 16.2 | 16.6 | 16.6 | 16.9 | 17.3 | 16.2 | 16.6 | 16.6 | 16.9 | 17.3 |
| | 6H | 16.1 | 16.4 | 16.5 | 16.8 | 17.2 | 16.1 | 16.4 | 16.5 | 16.8 | 17.2 |
| | 8H | 16.1 | 16.4 | 16.5 | 16.8 | 17.2 | 16.1 | 16.4 | 16.5 | 16.8 | 17.2 |
| | 12H | 16.0 | 16.3 | 16.5 | 16.7 | 17.2 | 16.0 | 16.3 | 16.5 | 16.7 | 17.2 |
| 8H | 4H | 16.1 | 16.4 | 16.5 | 16.8 | 17.2 | 16.1 | 16.4 | 16.5 | 16.8 | 17.2 |
| | 6H | 16.0 | 16.2 | 16.4 | 16.7 | 17.1 | 16.0 | 16.2 | 16.4 | 16.7 | 17.1 |
| | 8H | 15.9 | 16.1 | 16.4 | 16.6 | 17.1 | 15.9 | 16.1 | 16.4 | 16.6 | 17.1 |
| | 12H | 15.9 | 16.0 | 16.4 | 16.5 | 17.0 | 15.9 | 16.0 | 16.4 | 16.5 | 17.0 |
| 12H | 4H | 16.0 | 16.3 | 16.5 | 16.7 | 17.2 | 16.0 | 16.3 | 16.5 | 16.7 | 17.2 |
| | 6H | 15.9 | 16.1 | 16.4 | 16.6 | 17.1 | 15.9 | 16.1 | 16.4 | 16.6 | 17.1 |
| | 8H | 15.9 | 16.0 | 16.4 | 16.5 | 17.0 | 15.9 | 16.0 | 16.4 | 16.5 | 17.0 |
| Variations with the observer position at spacing: | | | | | | | | | | | |
| S = | 1.0H | 6.5 / -24.9 | | | | | 6.5 / -24.9 | | | | |
| | 1.5H | 9.4 / -25.6 | | | | | 9.4 / -25.6 | | | | |
| | 2.0H | 11.4 / -25.8 | | | | | 11.4 / -25.8 | | | | |